

ВЛИЯНИЕ КАТОДНОГО САМОРАСПЫЛЕНИЯ НА ВАХ ГАЗОВОГО РАЗРЯДА

Ю. Л. Васенин

Рассмотрим такой газовый разряд, когда плотная высокоионизированная плазма из внешнего источника, коллимированная сильным магнитным полем и диффундирующая в область высокого вакуума, соприкасается с коллектором, находящимся под отрицательным по отношению к источнику плазмы потенциалом $-U_c$. Из экспериментальных вольт-амперных характеристик (ВАХ) [1] следует, что при некоторых, зависящих от материала коллектора, значениях U_c и J_{+H} — тока ионов водорода из источника плазмы наблюдается крутое нарастание полного тока на коллектор J_c и на ВАХ появляется область с отрицательной дифференциальной проводимостью. Возникновение ее можно объяснить тем, что часть распыленных атомов ионизируется в плотной плазме пучка и возвращается на коллектор. Поскольку коэффициент самораспыления больше коэффициента распыления ионами водорода, то это приводит

к увеличению потока распыленных атомов и процесс повторяется. Подобное явление рассмотрено в [2] для газомагнетрона.

Поскольку проводимость пучка плотной высокоионизированной плазмы значительно превышает проводимость ионного слоя у коллектора, то практически вся разность потенциалов U_c будет приложена к этому слою, для расчета ВАХ которого использовалась следующая система уравнений: баланс энергии на коллекторе

$$S_c \chi^{\sigma} T_c^4 = (J_m + J_{+H}) U_c + N_m^0 \varepsilon_s V_a S_p, \quad (1)$$

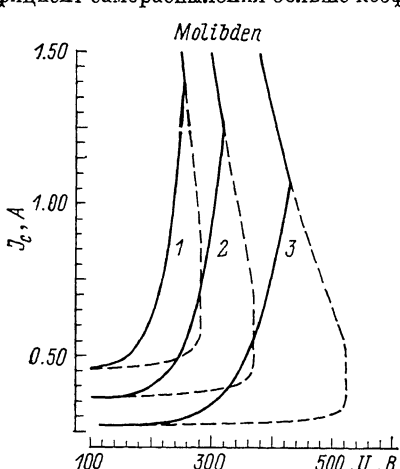
где S_c — полная площадь коллектора, χ — интегральная степень черноты, ε_s — уносимая одним распыленным атомом энергия, $S_p = \pi R^2$ — сечение пучка плазмы, σ — постоянная Стефана—Больцмана, J_m — возвращающийся на коллектор ток ионизированных в пучке плазмы распыленных атомов, $V_a \approx \sqrt{2\varepsilon_s/M_H}$; поток распыленных атомов коллектора

$$e N_m^0 V_a S_p = K_m (J_m + J_{+H} \sqrt{M_H/M_m}), \quad (2)$$

Рис. 1. Коллектор из молибдена.

$K_0 = 0.1$, $\chi = 0.25$; 1 — $\eta = 0.314$, 2 —

0.261, 3 — $\eta = 0.203$; $\varepsilon_s = 2.9 \cdot 10^{-8}$ см²/с.



где M_H , M_m — массы ионов водорода и материала коллектора соответственно; N_m^0 — концентрация распыленных атомов; V_a — их скорость.

Зависимость коэффициента самораспыления K_m от энергии падающих ионов U_c и температуры коллектора T_c принята в виде [2]

$$K_m = K_0 (1 + (T_c/10^3)^2 \exp(T_c/0.7T_m)^2) \sqrt{U_c/U_0}, \quad (3)$$

где T_m — температура плавления материала коллектора, $U_0 = 300$ В.

Обоснованием используемой аппроксимации K_m могут служить эксперименты [3]. Числовые значения K_0 определялись по данным работ [4—7] с учетом (3), а также того, что при равенстве энергий, бомбардирующих коллектор ионов, коэффициент распыления пропорционален импульсу частиц.

Уход распыленных нейтралов за пределы пучка плазмы определяется угловым распределением потока ($\approx \cos(\theta)$). Для простоты полагалось, что концентрация распыленных атомов не зависит от направления в пределах некоторого телесного угла $\Omega_0 = 2\pi(1 - \cos(\theta_0))$. Угол раскрытия конуса $\theta_0 = \pi/3$ определяется из условия сохранения полного потока.

Ионный ток на коллектор J_m , образующийся в результате ионизации распыленных атомов горячими электронами из пучка плазмы, определяется из решения уравнения [8]

$$\frac{dJ_m}{dR} = eN_m(R) V_a S_p / l_0, \quad J_m|_{R=R_0} = e\eta N_m^0 V_a S_p,$$

$$J_m|_{R \rightarrow \infty} \rightarrow 0, \quad N_m(R_0) = N_m^0, \quad l_0 = v_i n_e^0 / V_a, \quad R_0^2 = S_p / Q_0, \quad S_{Q_0} = Q_0 R^2 \quad (4)$$

совместно с уравнением непрерывности

$$eN_m(R) V_a S_{Q_0} = eN_m^0 V_a S_p - J_m(R_0) + J_m(R).$$

Часть распыленного потока, которая возвращается на коллектор в виде ионов, таким образом, составляет

$$\eta = 1 - \exp(-R_p/l_0). \quad (5)$$

При измерении ВАХ в эксперименте [1] ток ионов водорода J_{+H} был постоянен и определялся условиями в источнике плазмы. Оценить концентрацию горячих электронов n_e^0 , диффундирующих из источника плазмы в пучок, можно из условия квазинейтральности пучка (на

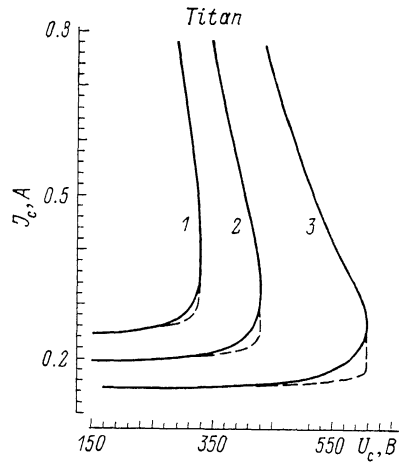


Рис. 2. Коллектор из титана.

$$K_0=0.12, \quad \chi=0.35; \quad 1 - \eta=0.169, \quad 2 - 0.138, \quad 3 - 0.105; \quad v_i=3.3 \cdot 10^{-8} \text{ см}^3/\text{с}.$$

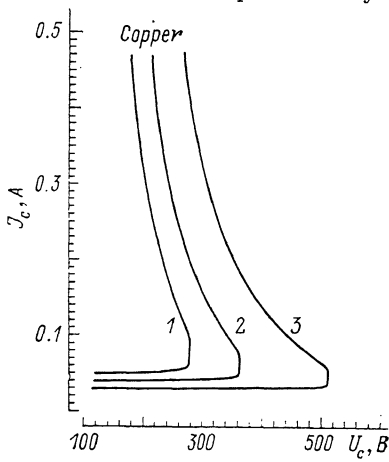


Рис. 3. Коллектор из меди.

$$K_0=0.5, \quad \chi=0.15; \quad 1 - \eta=0.041, \quad 2 - 0.033, \quad 3 - 0.025; \quad v_i=2.6 \cdot 10^{-8} \text{ см}^3/\text{с}.$$

большом удалении от коллектора остаются только ионы водорода) и выражения для J_{+H} , поступающем из источника,

$$n_e^0 \approx J_{+H} / e S_p \sqrt{T_e / M_e}. \quad (6)$$

Изменение концентрации электронов и их температуры по длине пучка плазмы не рассматривалось ввиду значительного усложнения предлагаемой модели.

Для полного тока на коллектор с учетом термоэмиссии имеем

$$J_c = J_{+H} + J_m + A_c S_c \exp(-\varphi/kT_c), \quad (7)$$

где A_c — постоянная термоэмиссии для данного материала коллектора, S_c — площадь, с которой происходит термоэмиссия, φ — работа выхода.

Система уравнений (1)–(7) позволяет находить взаимосвязь J_c и U_c при заданном значении J_{+H} . При больших токах J_c , когда образуется факел и уменьшается поток возвращающихся на коллектор ионов, ВАХ реального разряда будет соответствовать меньшим значениям J_{+H} .

Расчеты по приведенной системе выполнены при следующих значениях параметров: радиус пучка плазмы $R_p=0.1$ см, коллектор — это цилиндр сечением 1 см² и высотой 0.4 см. Полагалось, что теплоизлучение происходит со всей поверхности коллектора, значение v_i соответствует $T_e \approx 10$ эВ.

Для коллекторов из молибдена, титана и меди на рис. 1–3 представлены соответственно решения системы уравнений (1)–(7). Штриховыми линиями на рис. 1, 2 представлены расчетные ВАХ для молибдена и титана без учета термоэмиссионного тока. Для медного коллектора изменение ВАХ пренебрежимо мало.

Из представленных результатов можно сделать следующие выводы. При наличии внешнего ионизатора, которым в разряде типа [1] служит пучок плазмы из внешнего источника, самораспыление (или испарение) материала коллектора с низкой температурой плавления приводит к появлению вольт-амперной характеристики с отрицательной дифференциальной проводимостью. Для тугоплавких материалов в некоторой области значений J_{+H} и U_e возможно подавление термоэмиссией влияния самораспыления (испарения).

Автор благодарит В. В. Владимира за руководство работой.

Список литературы

- [1] Габович М. Д., Порицкий В. Я., Проценко И. М. // УФЖ. 1981. Т. 26. № 1. С. 164—165.
- [2] Владимироев В. В., Габович М. Д., Проценко И. М. и др. // Физика плазмы. 1981. Т. 7. С. 205—212.
- [3] Nelson R. C. // Phil. Mag. 1965. Vol. 11. N 110. P. 291—296.
- [4] Плещинцев Н. В. Катодное распыление. М.: Атомиздат, 1968. 247 с.
- [5] Лебедев С. Я., Стависский Ю. Я., Шутыко Ю. В. // ЖТФ. 1964. Т. 34. Вып. 6. С. 1101—1104.
- [6] Лебедев С. Я., Стависский Ю. Я., Шутыко Ю. В. // Изв. АН СССР. Сер. физ. 1964. № 9. С. 1488—1490.
- [7] Rol P. K., Fluit J. M., Kistmaker J. // Phisica. 1960. Vol. 26. N 11. P. 1000—1005.
- [8] Жаринов А. В., Саночкин Ю. В. // Физика плазмы. 1983. Т. 9. № 2. С. 397—400.

Институт электросварки им. Е. О. Патона
АН УССР
Киев

Поступило в Редакцию
11 апреля 1990 г.

05

Журнал технической физики, т. 61, в. 5, 1991

© 1991 г.

ВЛИЯНИЕ РЕНТГЕНОВСКОГО ОБЛУЧЕНИЯ НА ДВУЛУЧЕПРЕЛОМЛЕНИЕ КРИСТАЛЛОВ $(N(CH_3)_4)_2ZnCl_4$

О. Г. Влох, В. С. Жмурко, И. И. Половинко, С. А. Селеба

Несоразмерные структуры обладают рядом интересных свойств, проявляющихся в оптических, диэлектрических, рентгеноструктурных исследованиях. Среди этих свойств можно выделить эффект термической памяти [1], частные циклы типа «параллелограмм» [2], аномальное поведение параметра несоразмерности δ при малых скоростях изменения температуры ($dT/dt \sim 150—2 \text{ мK/ч}$) [3].

Эффект термической памяти состоит в том, что на температурной зависимости изменения двулучепреломления появляется аномалия S-образной формы в точке, где ранее выдерживался кристалл (T_{cr}). Наблюдаемая аномалия объясняется локализацией волнового вектора несоразмерности в точке T_{cr} [1]. Частные циклы типа «параллелограмм» — это неизменение двулучепреломления Δn при взаимных переходах между кривыми нагревания и охлаждения. Эти циклы связаны с тем, что при таких переходах в несоразмерной (НС) фазе не изменяется плотность солитонов [2]. Аномальная зависимость температурного поведения δ при малых скоростях изменения температуры представляет собой чередование участков изменяющихся и неизменяющихся с температурой значений δ . Такая ступенчатая зависимость $\delta(T)$ возникает вследствие «зацепления» дефектов за подвижную волну НС модуляции, что приводит к увеличению силы трения [3].

Интересным представляется тот недавно обнаруженный факт, что под влиянием рентгеновского облучения интегральная интенсивность несоразмерного рентгеновского рефлекса I и параметр несоразмерности δ в кристаллах $(N(CH_3)_4)_2ZnCl_4$ испытывают аномалии, когда волновой вектор НС модуляции приобретает соразмерные значения высшего порядка [4]. Причина аномалий заключается в том, что под влиянием дефектов происходит изменение фазы волны НС модуляции.

В настоящей работе исследовано влияние различных доз рентгеновского облучения на двулучепреломляющие свойства несоразмерного кристалла $(N(CH_3)_4)_2ZnCl_4$. Измерения